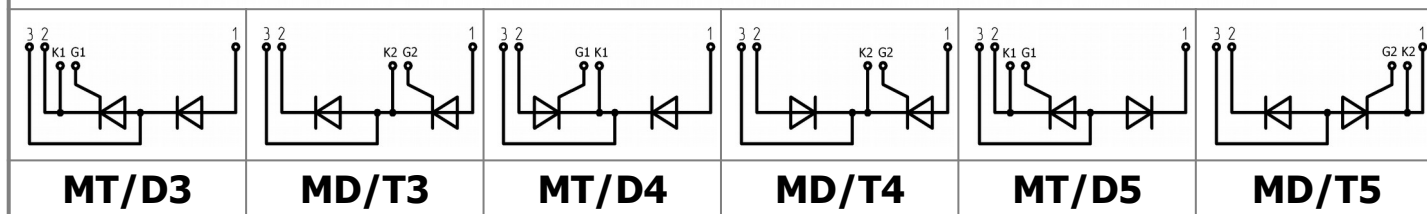
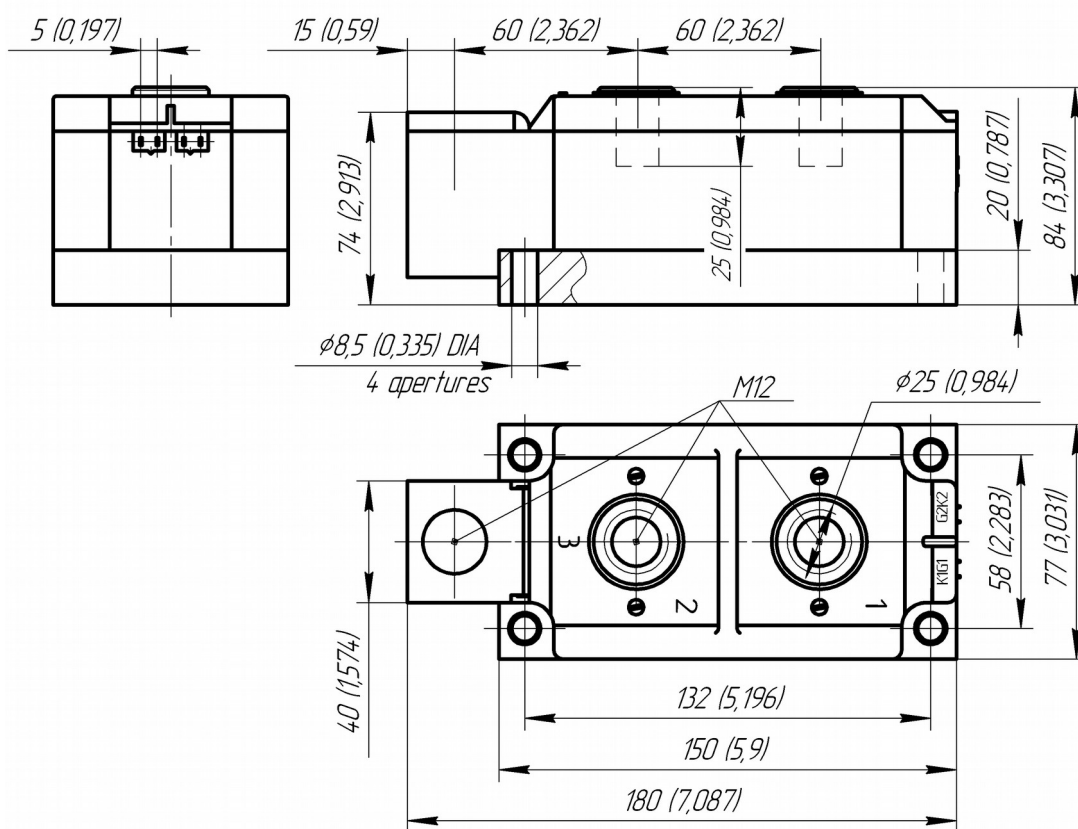
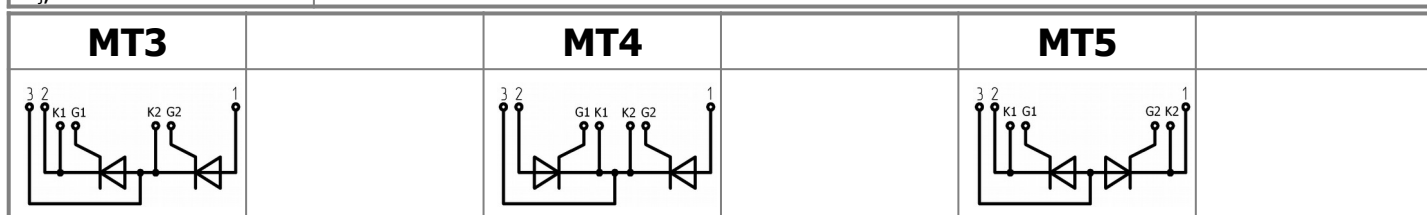




Изолированное основание
 Корпус промышленного стандарта
 Упрощенная механическая конструкция,
 быстрая сборка
 Прижимная конструкция

Двухпозиционный Тиристорный Модуль МТх-1250-8-D

Средний прямой ток	I_{TAV}		1250 A					
Повторяющееся импульсное напряжение в закрытом состоянии	U_{DRM}		100 ÷ 800 В					
	U_{RRM}							
Время выключения	t_q		160 мкс					
$U_{DRM}, U_{RRM}, В$	100	200	300	400	500	600	700	800
Класс по напряжению	1	2	3	4	5	6	7	8
$T_j, °C$	- 40 ÷ 150							




ПРЕДЕЛЬНО ДОПУСТИМЫЕ ЗНАЧЕНИЯ ПАРАМЕТРОВ

Обозначение и наименование параметра		Ед. изм.	Значение	Условия измерения	
Параметры в проводящем состоянии					
I_{TAV}	Средний ток в открытом состоянии	А	1250 1140	$T_c = 77\text{ }^\circ\text{C}$; 180 эл. град. синус; 50 Гц $T_c = 85\text{ }^\circ\text{C}$; 180 эл. град. синус; 50 Гц	
I_{TRMS}	Действующий ток в открытом состоянии	А	1963	$T_c = 77\text{ }^\circ\text{C}$; 180 эл. град. синус; 50 Гц	
I_{TSM}	Ударный ток в открытом состоянии	кА	34.0 39.0	$T_j = T_{j\max}$ $T_j = 25\text{ }^\circ\text{C}$	180 эл. град. синус; $t_p = 10\text{ мс}$; единичный импульс; $U_D = U_R = 0\text{ В}$; Импульс управления: $I_G = 2\text{ А}$; $t_{GP} = 50\text{ мкс}$; $di_G/dt \geq 1\text{ А/мкс}$
			36.0 41.0	$T_j = T_{j\max}$ $T_j = 25\text{ }^\circ\text{C}$	180 эл. град. синус; $t_p = 8.3\text{ мс}$; единичный импульс; $U_D = U_R = 0\text{ В}$; Импульс управления: $I_G = 2\text{ А}$; $t_{GP} = 50\text{ мкс}$; $di_G/dt \geq 1\text{ А/мкс}$
I^2t	Защитный фактор	$\text{А}^2\text{с} \cdot 10^3$	5700 7600	$T_j = T_{j\max}$ $T_j = 25\text{ }^\circ\text{C}$	180 эл. град. синус; $t_p = 10\text{ мс}$; единичный импульс; $U_D = U_R = 0\text{ В}$; Импульс управления: $I_G = 2\text{ А}$; $t_{GP} = 50\text{ мкс}$; $di_G/dt \geq 1\text{ А/мкс}$
			5300 6900	$T_j = T_{j\max}$ $T_j = 25\text{ }^\circ\text{C}$	180 эл. град. синус; $t_p = 8.3\text{ мс}$; единичный импульс; $U_D = U_R = 0\text{ В}$; Импульс управления: $I_G = 2\text{ А}$; $t_{GP} = 50\text{ мкс}$; $di_G/dt \geq 1\text{ А/мкс}$
Блокирующие параметры					
U_{DRM}, U_{RRM}	Повторяющееся импульсное обратное напряжение и повторяющееся импульсное напряжение в закрытом состоянии	В	100÷800	$T_{j\min} < T_j < T_{j\max}$; 180 эл. град. синус; 50 Гц; управление разомкнуто	
U_{DSM}, U_{RSM}	Неповторяющееся импульсное обратное напряжение и неповторяющееся импульсное напряжение в закрытом состоянии	В	200÷900	$T_{j\min} < T_j < T_{j\max}$; 180 эл. град. синус; единичный импульс; управление разомкнуто	
U_D, U_R	Постоянное обратное и постоянное прямое напряжение	В	$0.6 \cdot U_{DRM}$ $0.6 \cdot U_{RRM}$	$T_j = T_{j\max}$; управление разомкнуто	
Параметры управления					
I_{FGM}	Максимальный прямой ток управления	А	8	$T_j = T_{j\max}$	
U_{RGM}	Максимальное обратное напряжение управления	В	5		
P_G	Максимальная рассеиваемая мощность по управлению	Вт	4	$T_j = T_{j\max}$ для постоянного тока управления	
Параметры переключения					
$(di_T/dt)_{crit}$	Критическая скорость нарастания тока в открытом состоянии ($f = 1\text{ Hz}$)	А/мкс	400	$T_j = T_{j\max}$; $U_D = 0.67 \cdot U_{DRM}$; $I_{TM} = 2 I_{TAV}$; Импульс управления: $I_G = 2\text{ А}$; $t_{GP} = 50\text{ мкс}$; $di_G/dt \geq 2\text{ А/мкс}$	
Тепловые параметры					
T_{stg}	Температура хранения	$^\circ\text{C}$	-40 ÷ 50		
T_j	Температура р-п перехода	$^\circ\text{C}$	-40 ÷ 150		
Механические параметры					
a	Ускорение	м/с^2	50		

ХАРАКТЕРИСТИКИ

Обозначение и наименование характеристики		Ед. изм.	Значение	Условия измерения				
Характеристики в проводящем состоянии								
U_{TM}	Импульсное напряжение в открытом состоянии, макс	В	1.30	$T_j=25\text{ }^\circ\text{C}; I_{TM}=3925\text{ A}$				
$U_{T(ТО)}$	Пороговое напряжение, макс	В	0.80	$T_j=T_{j\text{ max}};$ $0.5 \pi I_{TAV} < I_T < 1.5 \pi I_{TAV}$				
r_T	Динамическое сопротивление в открытом состоянии, макс	МОм	0.138					
I_L	Ток включения, макс	мА	1500	$T_j=25\text{ }^\circ\text{C}; U_D=12\text{ В};$ Импульс управления: $I_G=2\text{ A};$ $t_{GP}=50\text{ мкс}; di_G/dt \geq 1\text{ А/мкс}$				
I_H	Ток удержания, макс	мА	300	$T_j=25\text{ }^\circ\text{C};$ $U_D=12\text{ В};$ управление разомкнуто				
Блокирующие характеристики								
I_{DRM}, I_{RRM}	Повторяющийся импульсный обратный ток и повторяющийся импульсный ток в закрытом состоянии, макс	мА	100	$T_j=T_{j\text{ max}};$ $U_D=U_{DRM}; U_R=U_{RRM}$				
$(du_D/dt)_{crit}$	Критическая скорость нарастания напряжения в закрытом состоянии, мин	В/мкс	1000	$T_j=T_{j\text{ max}};$ $U_D=0.67 \cdot U_{DRM};$ управление разомкнуто				
Характеристики управления								
U_{GT}	Отпирающее постоянное напряжение управления, макс	В	4.00 2.50 2.00	$T_j= T_{j\text{ min}}$ $T_j=25\text{ }^\circ\text{C}$ $T_j= T_{j\text{ max}}$	$U_D=12\text{ В}; I_D=3\text{ A};$ Постоянный ток управления			
I_{GT}	Отпирающий постоянный ток управления, макс	мА	500 300 200	$T_j= T_{j\text{ min}}$ $T_j= 25\text{ }^\circ\text{C}$ $T_j= T_{j\text{ max}}$				
U_{GD}	Неотпирающее постоянное напряжение управления, мин	В	0.25	$T_j=T_{j\text{ max}};$ $U_D=0.67 \cdot U_{DRM};$				
I_{GD}	Неотпирающий постоянный ток управления, мин	мА	10.00	Постоянный ток управления				
Динамические характеристики								
t_{gd}	Время задержки включения	мкс	1.60	$T_j=25\text{ }^\circ\text{C}; U_D=600\text{ В}; I_{TM}=I_{TAV};$ $di/dt=200\text{ А/мкс};$ Импульс управления: $I_G=2\text{ A}; U_G=20\text{ В};$ $t_{GP}=50\text{ мкс}; di_G/dt=2\text{ А/мкс}$				
t_q	Время выключения, макс	мкс	160	$du_D/dt=50\text{ В/мкс}; T_j=T_{j\text{ max}}; I_{TM}= I_{TAV};$ $di_R/dt=-10\text{ А/мкс}; U_R=100\text{ В};$ $U_D= 0.67 U_{DRM};$				
Q_{rr}	Заряд обратного восстановления, макс	мкКл	800	$T_j=125\text{ }^\circ\text{C}; I_{TM}= 1000\text{ A};$ $di_R/dt=-10\text{ А/мкс}$				
t_{rr}	Время обратного восстановления, макс	мкс	16.0					
I_{rrM}	Ток обратного восстановления, макс	А	100					
Тепловые характеристики								
R_{thjc}	Тепловое сопротивление р-п переход-корпус, макс			180 эл. град. синус; 50 Гц				
		на модуль	$^\circ\text{C/Вт}$			0.0250		
		на позицию	$^\circ\text{C/Вт}$			0.0500		
R_{thch}	Тепловое сопротивление корпус-охладитель, макс					180 эл. град. синус; 50 Гц		
		на модуль	$^\circ\text{C/Вт}$					0.0080
		на позицию	$^\circ\text{C/Вт}$					0.0160

Характеристики изоляции					
U _{ISOL}	Электрическая прочность изоляции	кВ	3.00	синус; 50 Гц; действующее значение	t=1 мин
			3.60		t=1 с
Механические характеристики					
M ₁	Момент затяжки основания (M8) ¹⁾	Нм	9.00	Допуск ± 15%	
M ₂	Момент затяжки выводов (M12) ¹⁾	Нм	18.00	Допуск ± 15%	
w	Масса, тип	г	3500		

МАРКИРОВКА						ПРИМЕЧАНИЕ				
MT	3	-	1250	-	8	-	D	-	Y2	1) Резьба должна быть смазана
1	2		3		4		5		6	
1. Тиристорный модуль (MT) Тиристорно-диодный модуль (MT/Д) Диодно-тиристорный модуль (МД/Т) 2. Схема включения 3. Средний прямой ток, А 4. Класс по напряжению 5. Тип корпуса (M.D) 6. Климатическое исполнение по ГОСТ 15150: Y2										
		Сертифицирован UL, файл № E255404								

Содержащаяся здесь информация является конфиденциальной и находится под защитой авторских прав.
 В интересах улучшения качества продукции, АО «Протон-Электротекс» оставляет за собой право изменять информационные листы без уведомления.

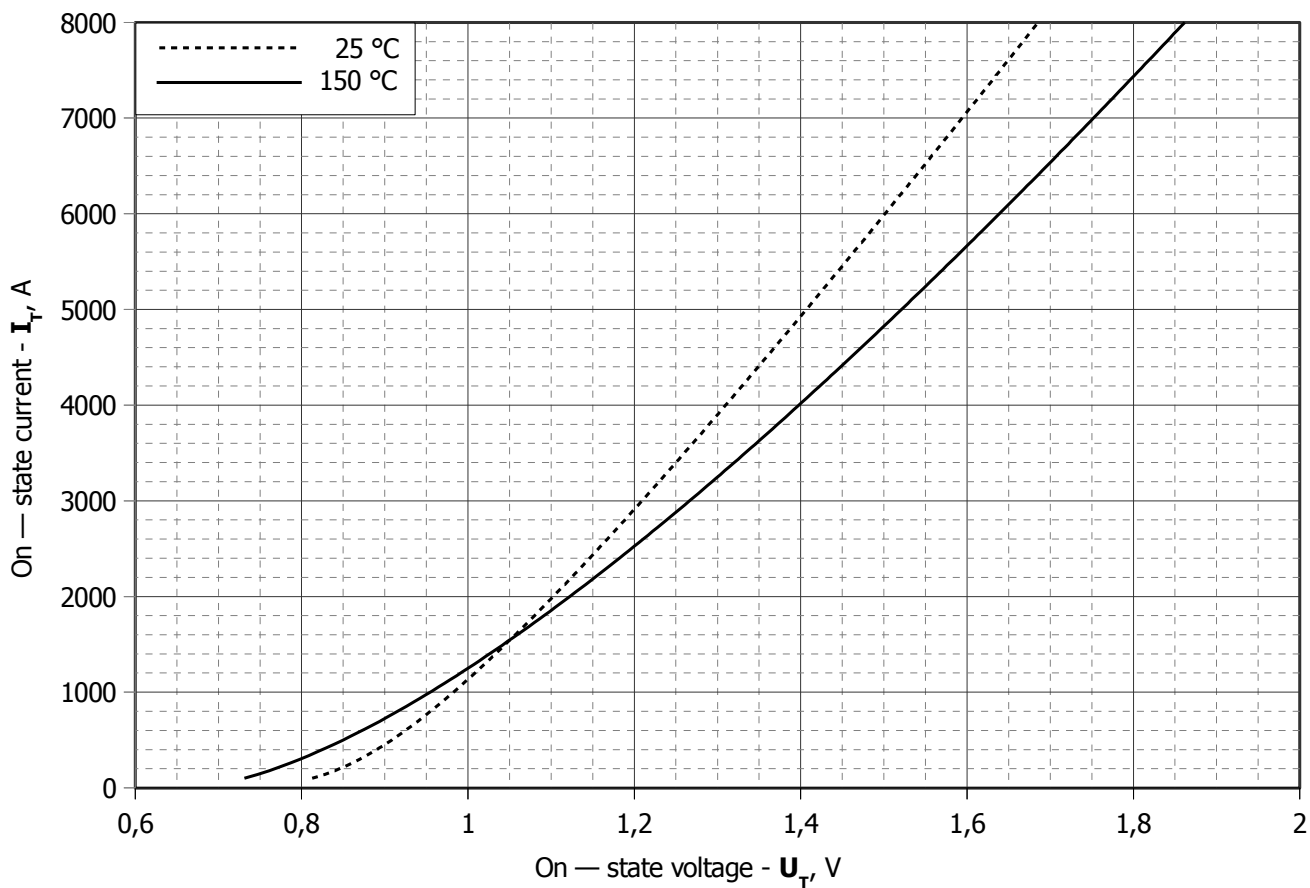


Рис. 1 – Вольт – амперная характеристика в открытом состоянии

Аналитическая функция вольт – амперной характеристики в открытом состоянии:

$$V_T = A + B \cdot i_T + C \cdot \ln(i_T + 1) + D \cdot \sqrt{i_T}$$

	Коэффициенты для графика	
	$T_j = 25^\circ\text{C}$	$T_j = T_{j\text{max}}$
A	0,668030000	0,670910000
B	0,000076524	0,000061738
C	0,025368000	-0,0065693000
D	0,001981500	0,008450600

Модель вольт – амперной характеристики в открытом состоянии (см. Рис. 1)

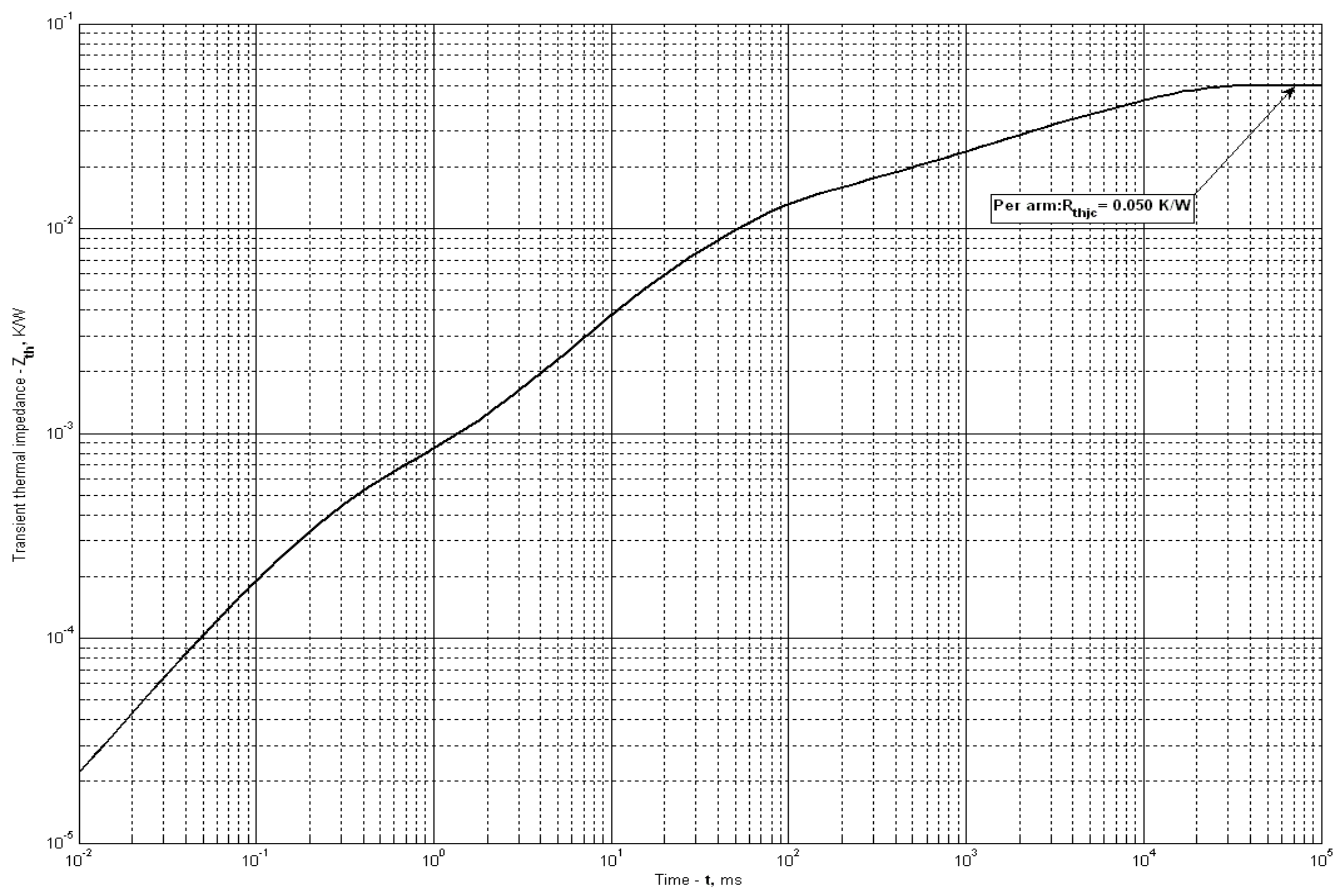


Рис. 2 – Переходное тепловое сопротивление

Аналитическая зависимость переходного теплового сопротивления переход — корпус:

$$Z_{thjc} = \sum_{i=1}^n R_i \left(1 - e^{-\frac{t}{\tau_i}} \right)$$

Где $i = 1$ to n , n – число суммирующихся элементов.

t = продолжительность импульсного нагрева в секундах.

Z_{thjc} = Тепловое сопротивление за время t .

R_i, τ_i = расчетные коэффициенты, приведенные в таблице.

i	1	2	3	4	5	6
R_i, K/W	0.02506	0.009643	0.00348	0.009712	0.001719	0.0004399
τ_i, s	8.474	1.110	0.2289	0.04529	0.009524	0.0002414

Модель переходного теплового сопротивления переход - корпус (см. Рис. 2)

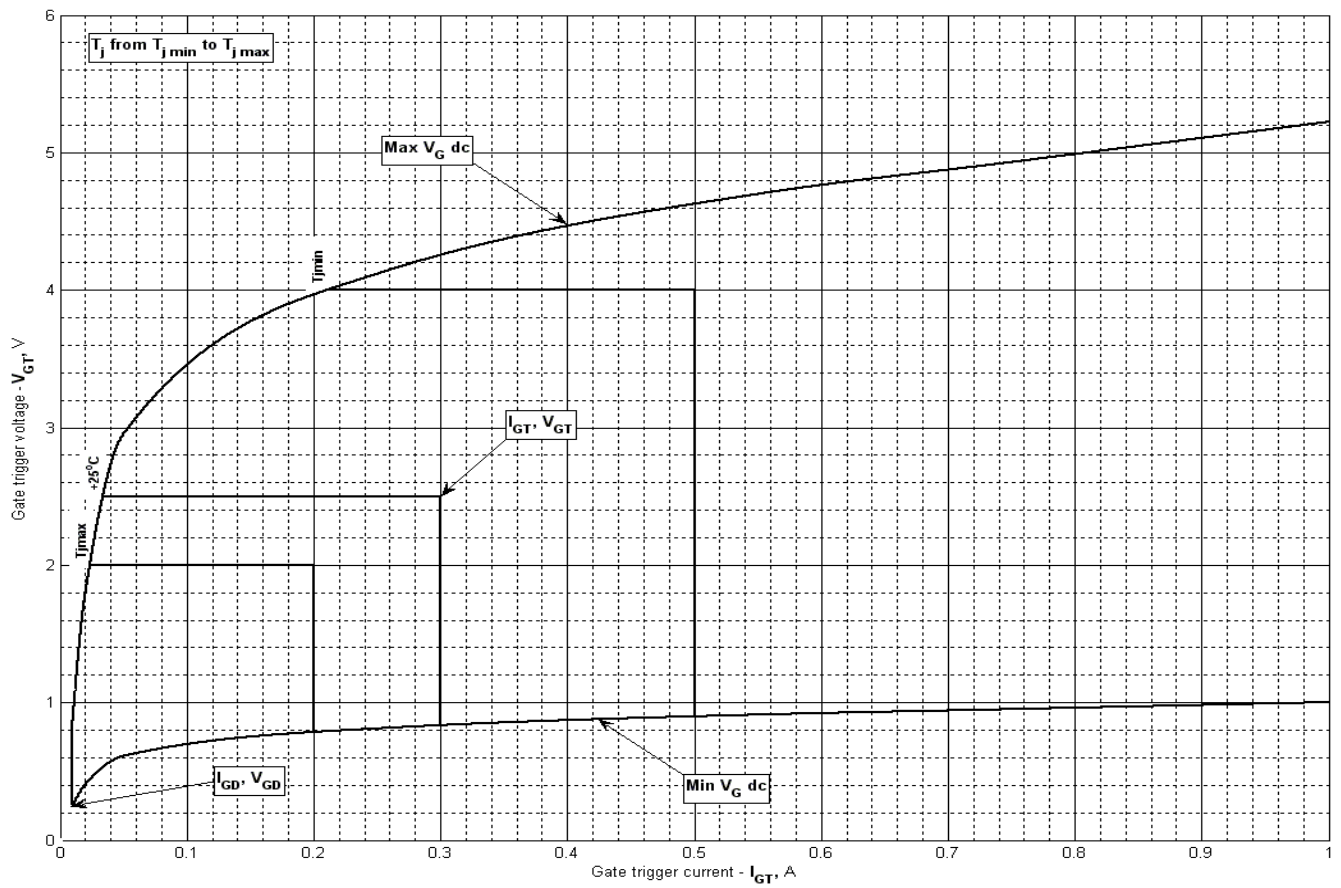


Рис. 3 - Вольт — амперная характеристика цепи управления

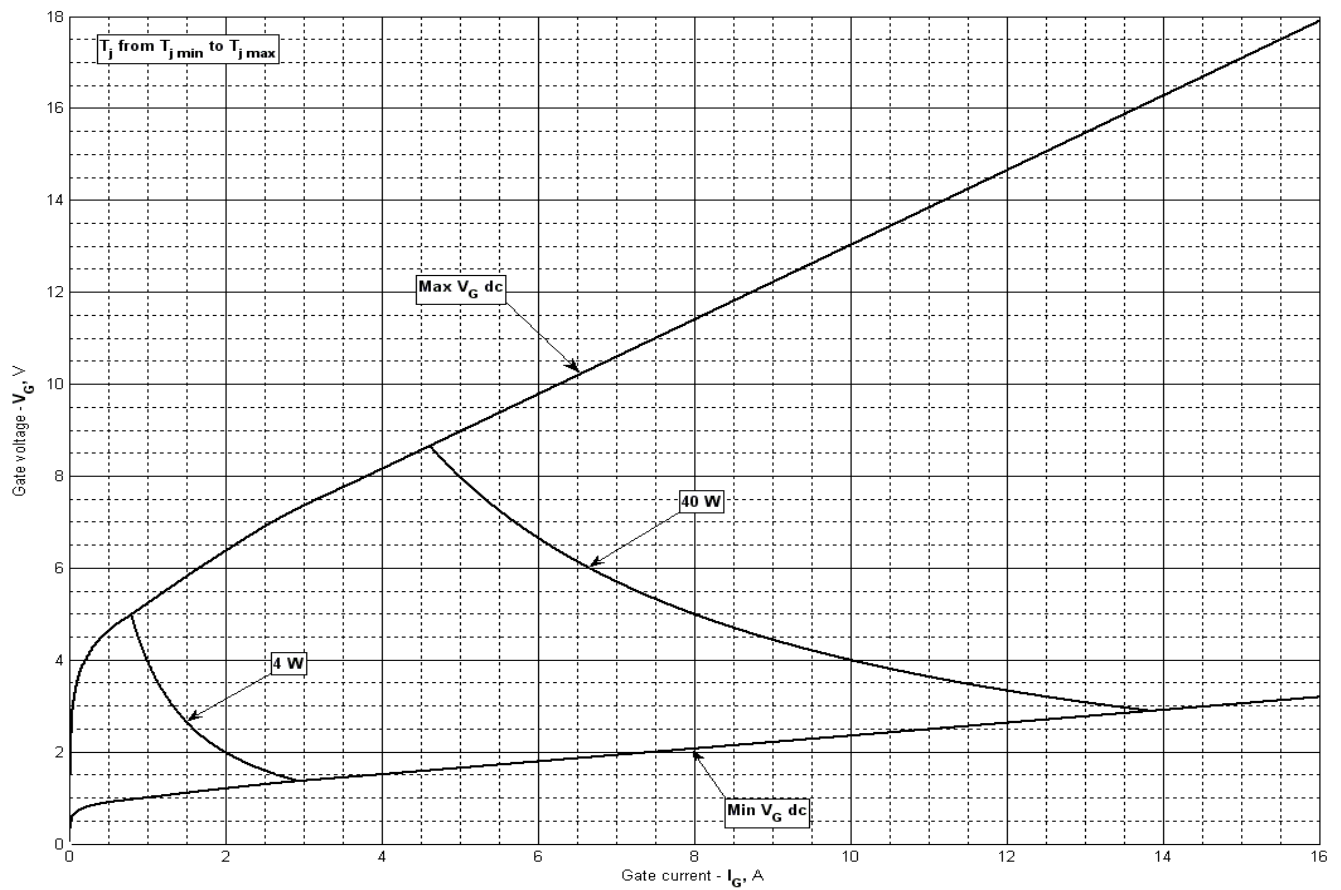


Рис. 4 - Вольт — амперная характеристика цепи управления — Кривые мощности

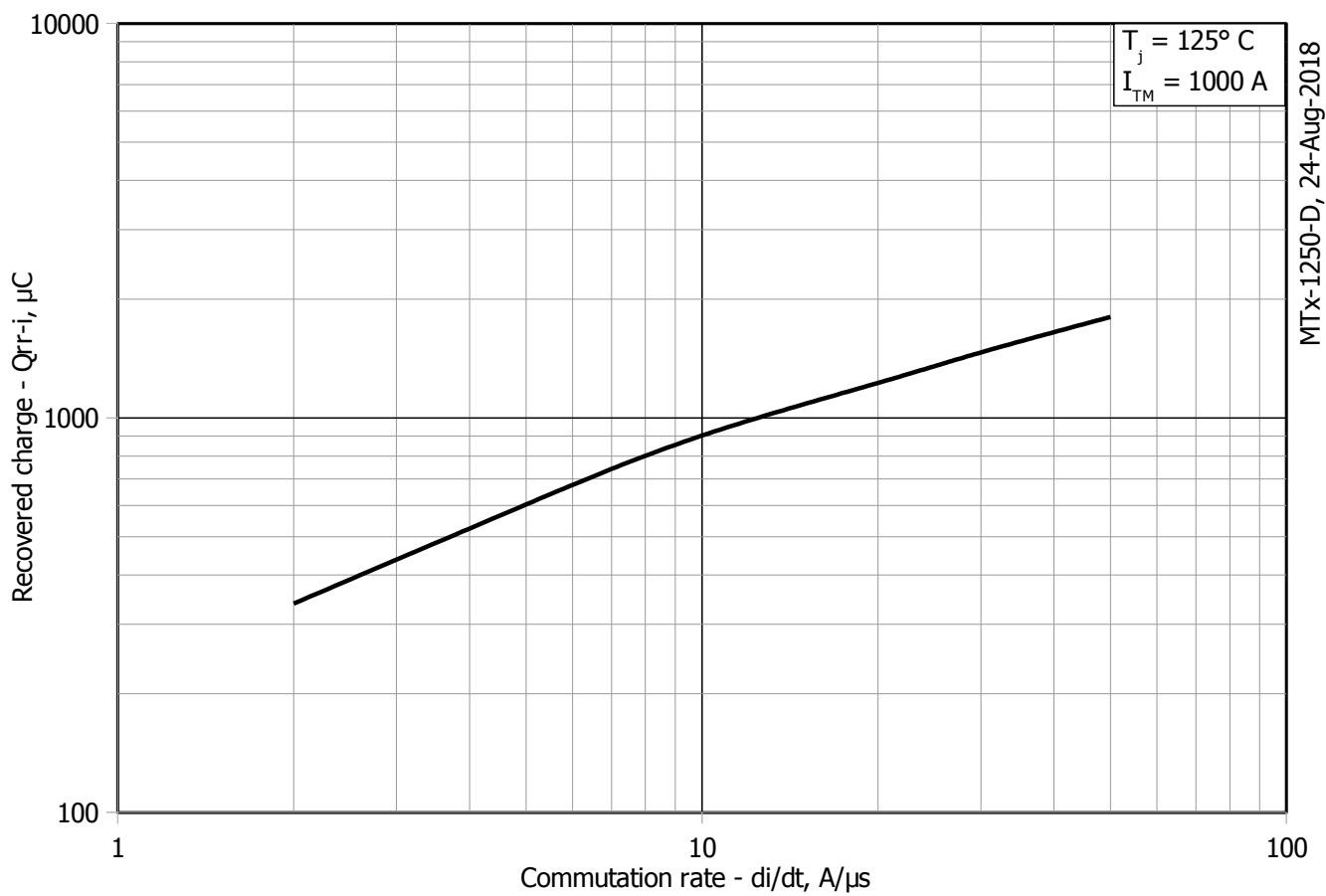


Рис. 5 – Максимальный интегральный заряд обратного восстановления, Q_{rr-i}

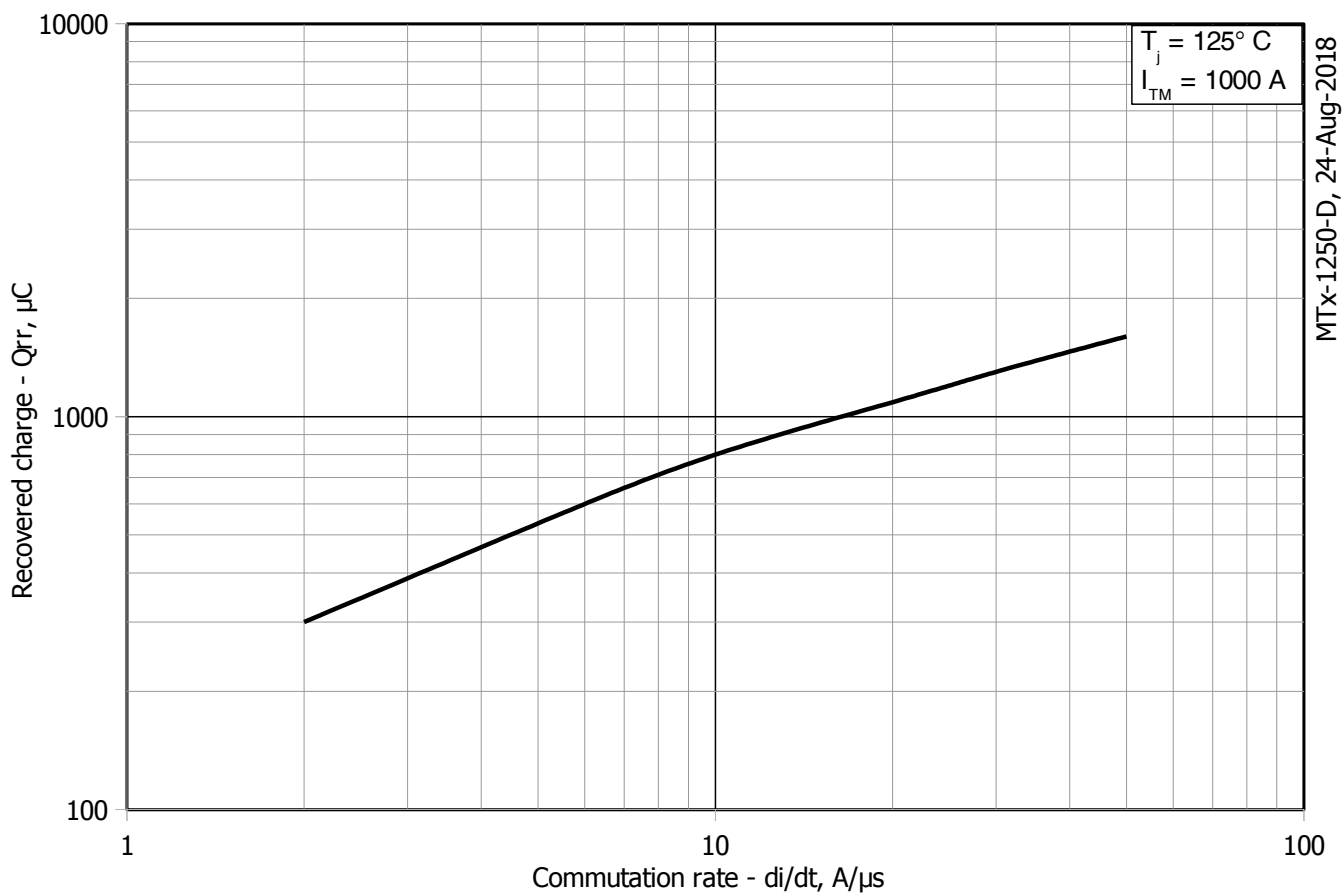


Рис. 6 – Максимальный заряд обратного восстановления, Q_{rr} (по ГОСТ 24461, хорда 25%)

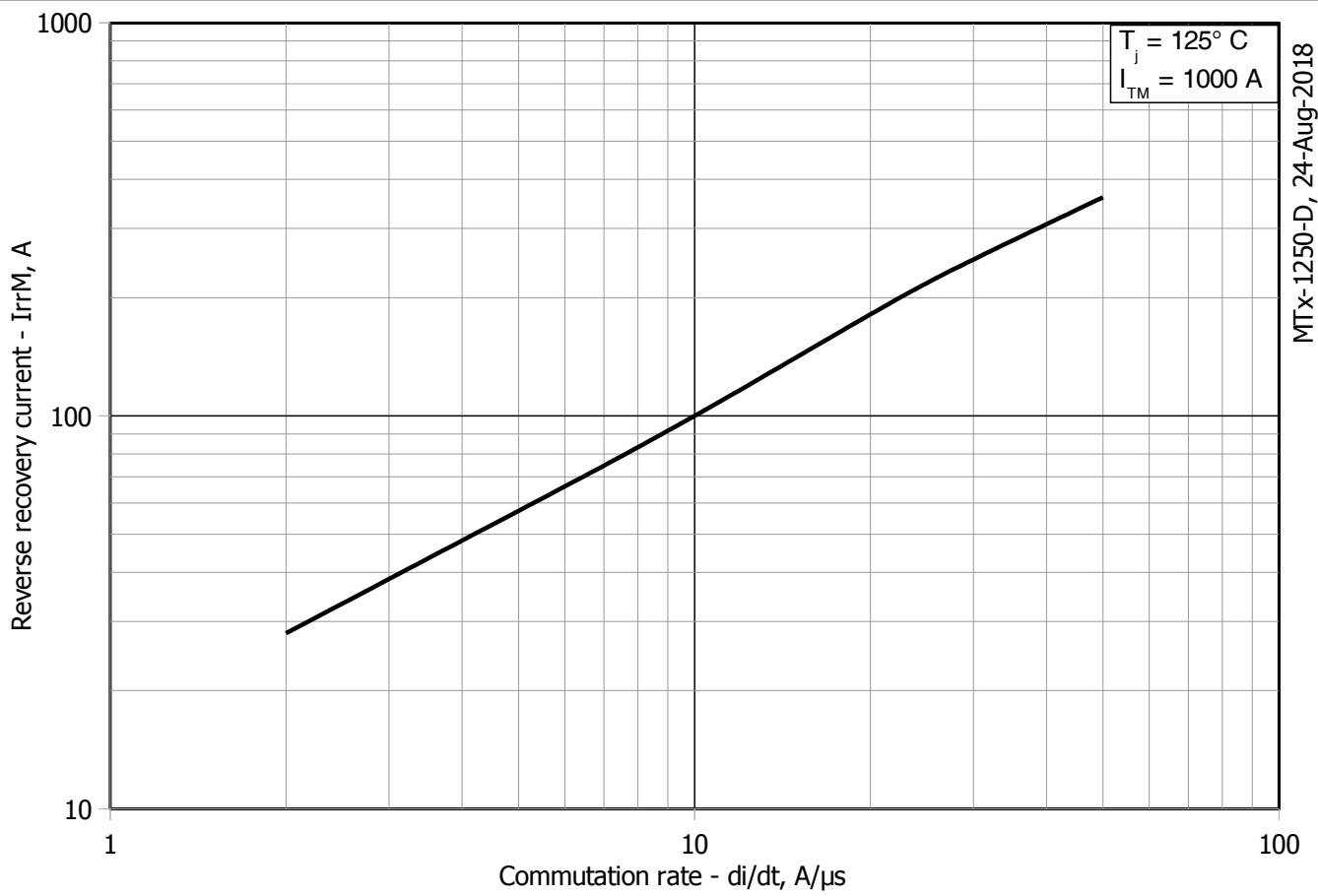


Рис. 7 - Максимальный ток обратного восстановления, I_{rrM}

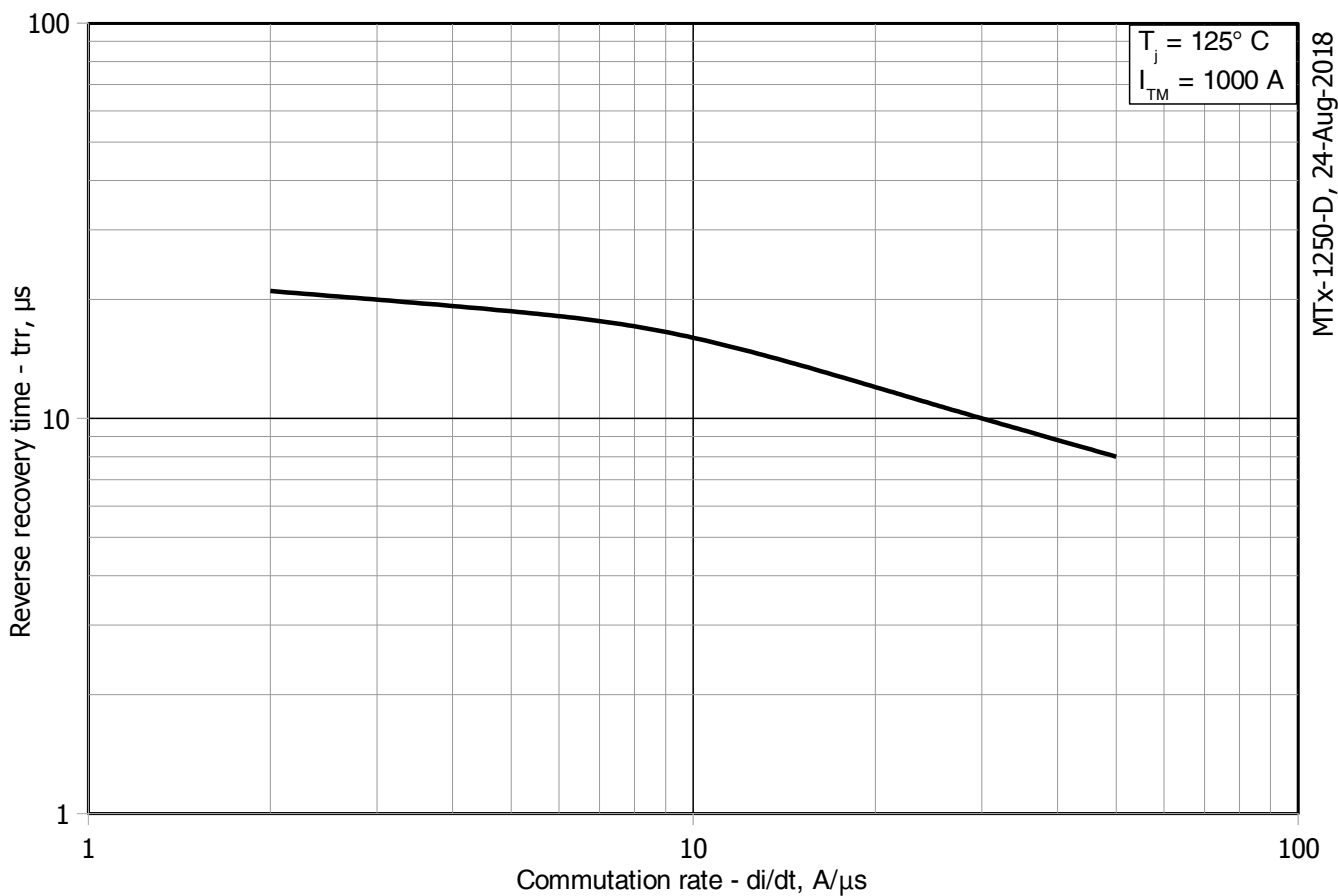
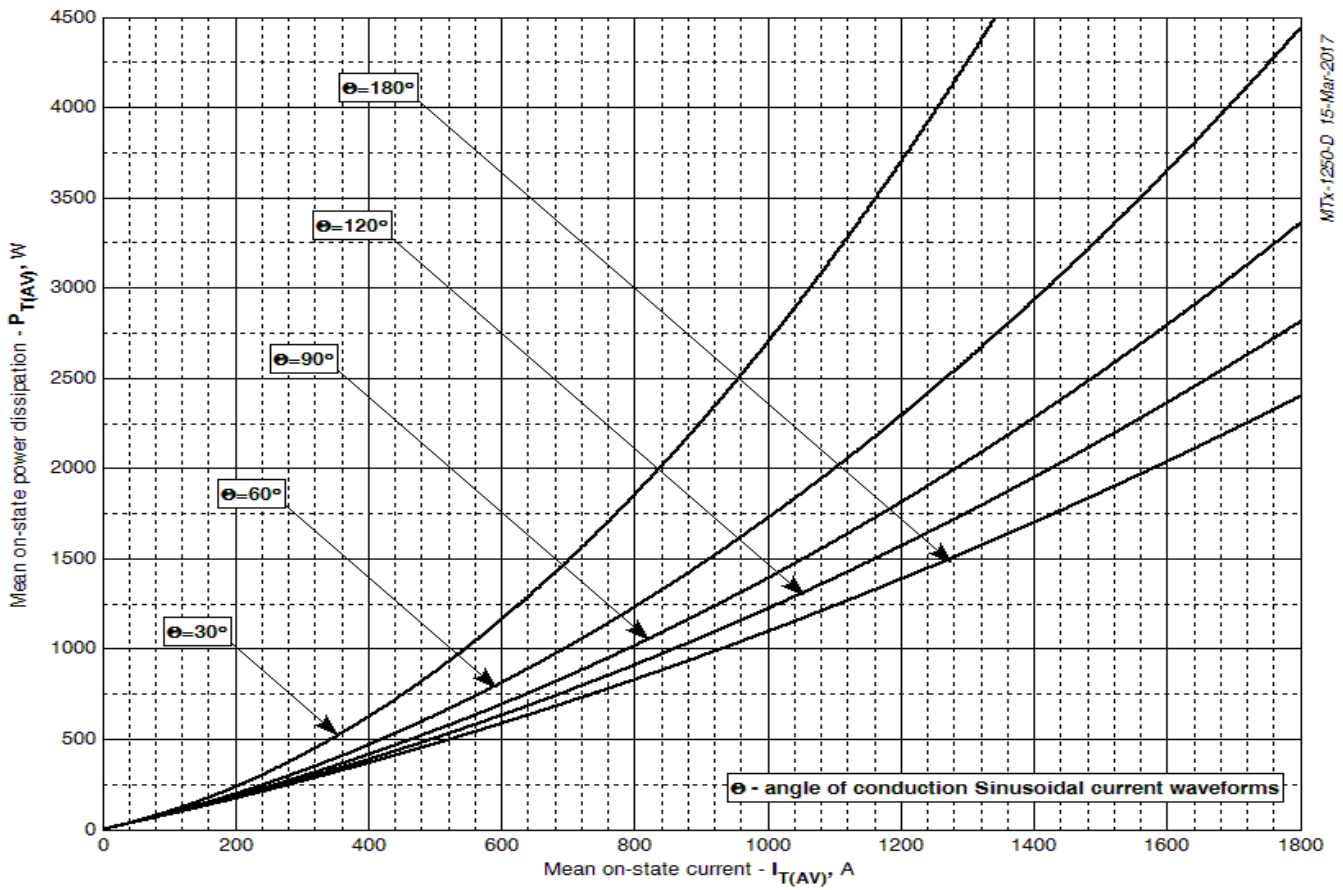
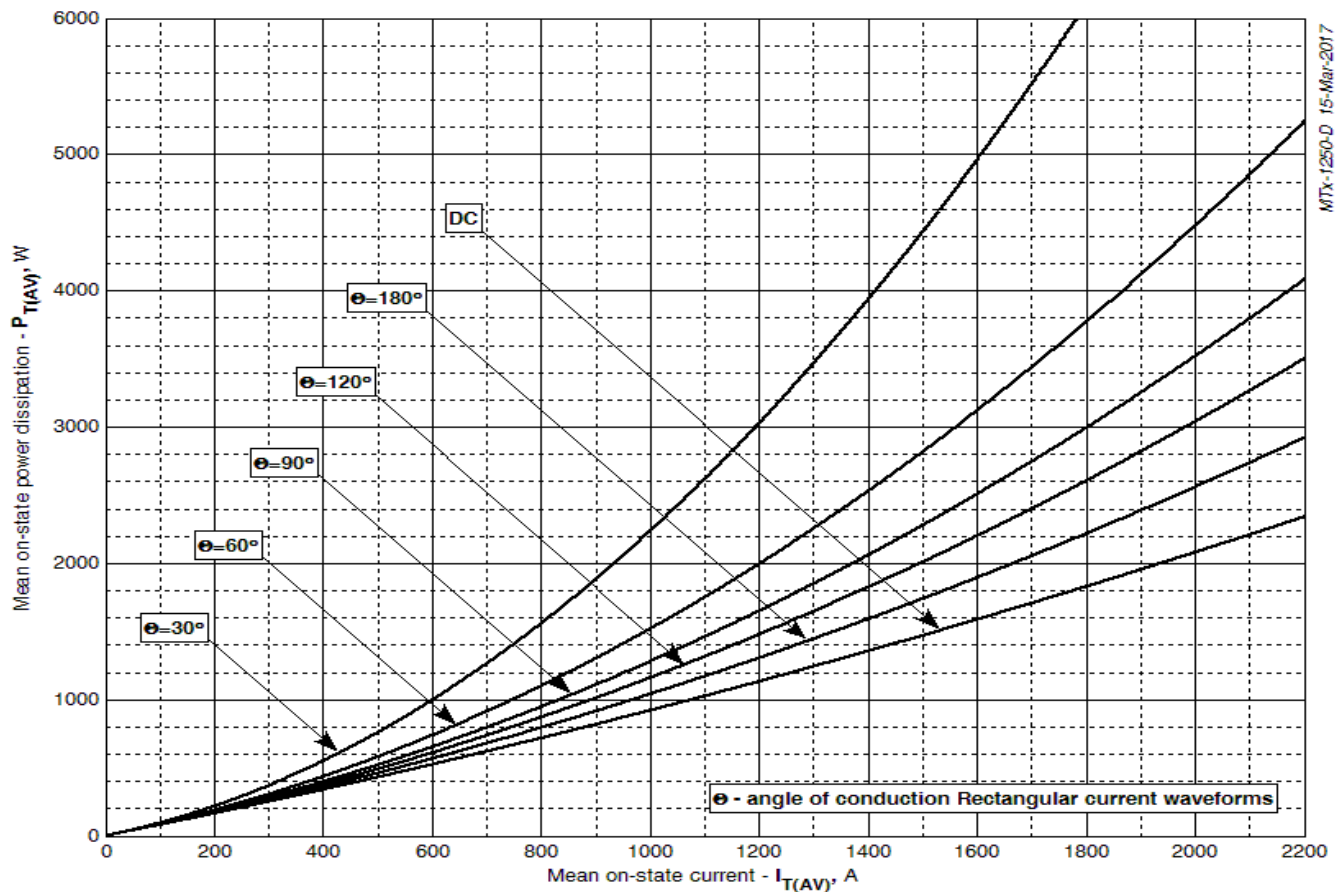


Рис. 8 - Максимальное время обратного восстановления, t_{rr} (по ГОСТ 24461, хорда 25%)



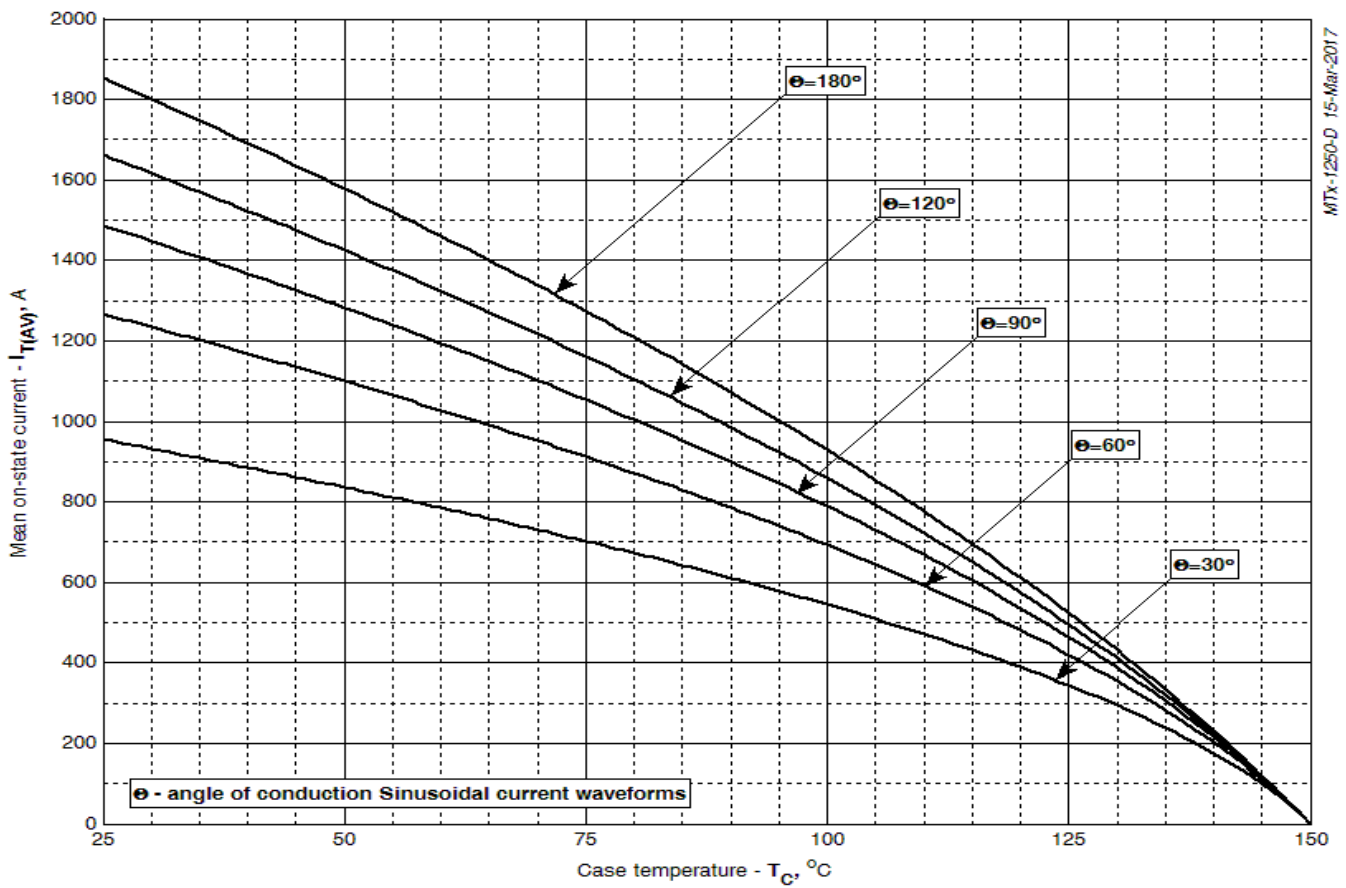
MTX-1250-D 15-Mar-2017

Рис. 9 - Зависимость потерь мощности P_{TAV} от среднего прямого тока I_{TAV} синусоидальной формы при различных углах проводимости ($f=50$ Гц, двустороннее охлаждение)



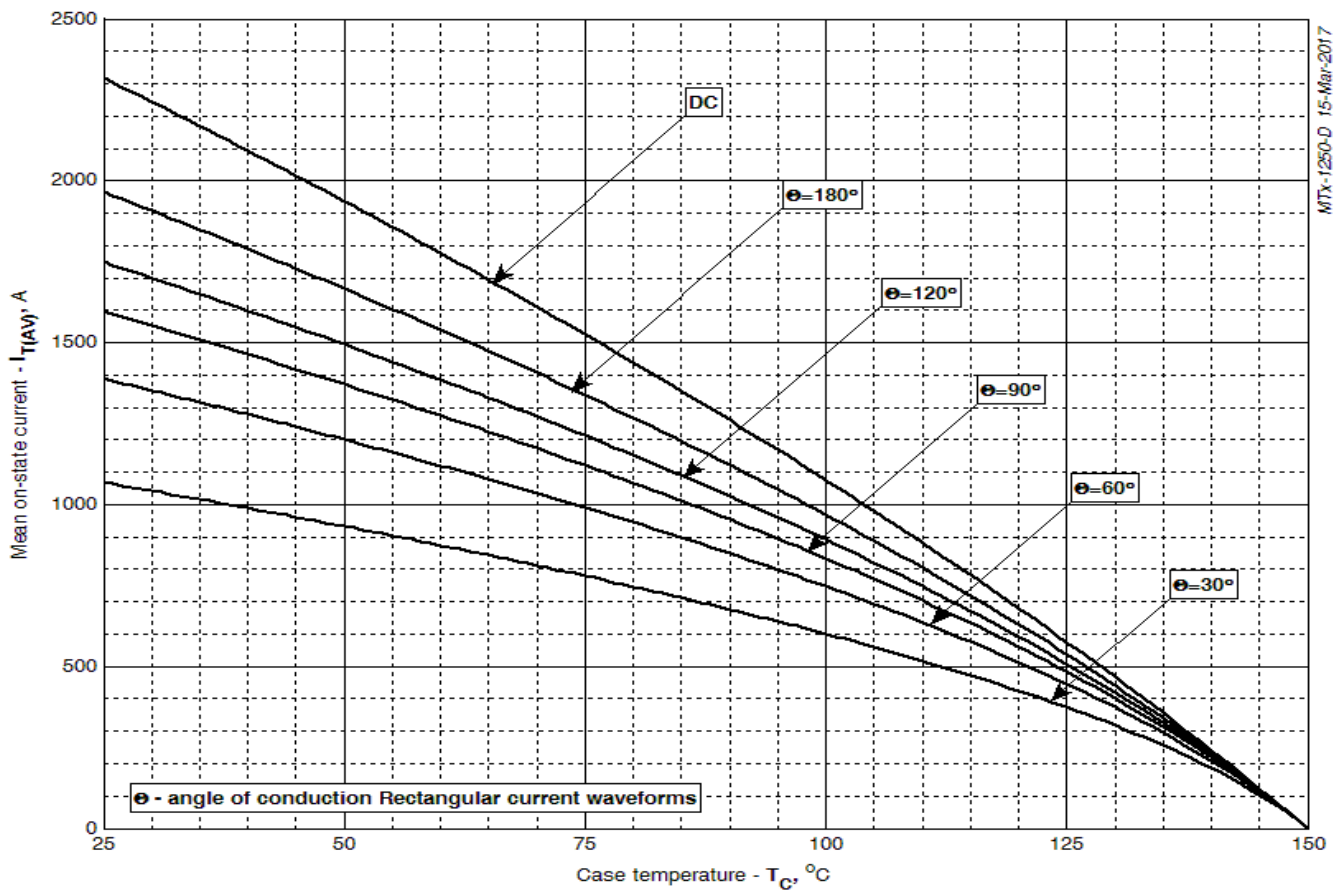
MTX-1250-D 15-Mar-2017

Рис. 10 – Зависимость потерь мощности P_{TAV} от среднего прямого тока I_{TAV} прямоугольной формы при различных углах проводимости ($f=50$ Гц, двустороннее охлаждение)



MTX-1250-D 15-Mar-2017

Рис. 11 – Зависимость среднего прямого тока I_{TAV} от температуры корпуса T_C для синусоидальной формы тока при различных углах проводимости ($f=50$ Гц, Двустороннее охлаждение)



MTX-1250-D 15-Mar-2017

Рис. 12 - Зависимость среднего прямого тока I_{TAV} от температуры корпуса T_C для прямоугольной формы тока при различных углах проводимости ($f=50$ Гц, Двустороннее охлаждение)

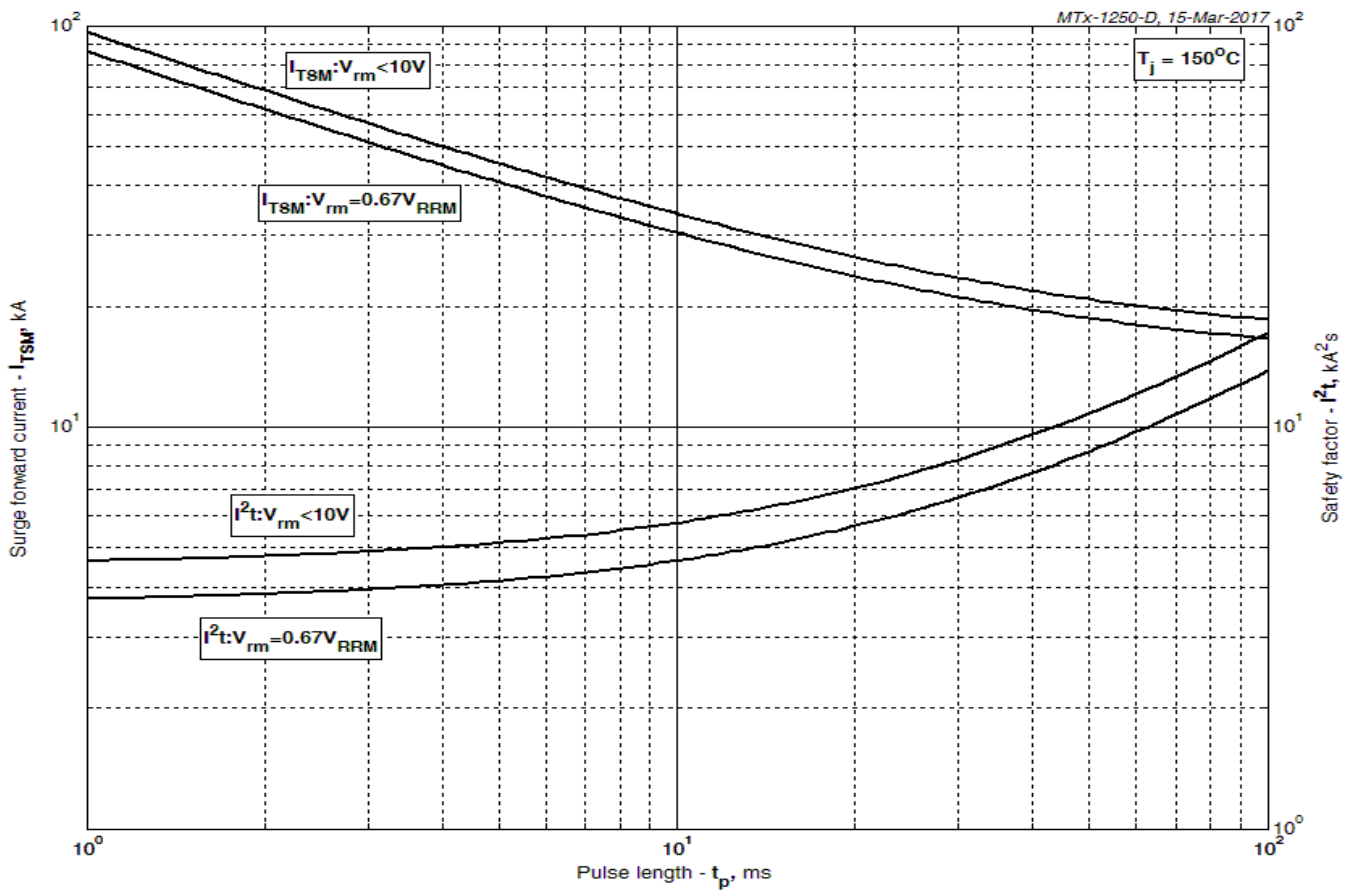


Рис. 13 – Максимальные ударные и I^2t характеристики

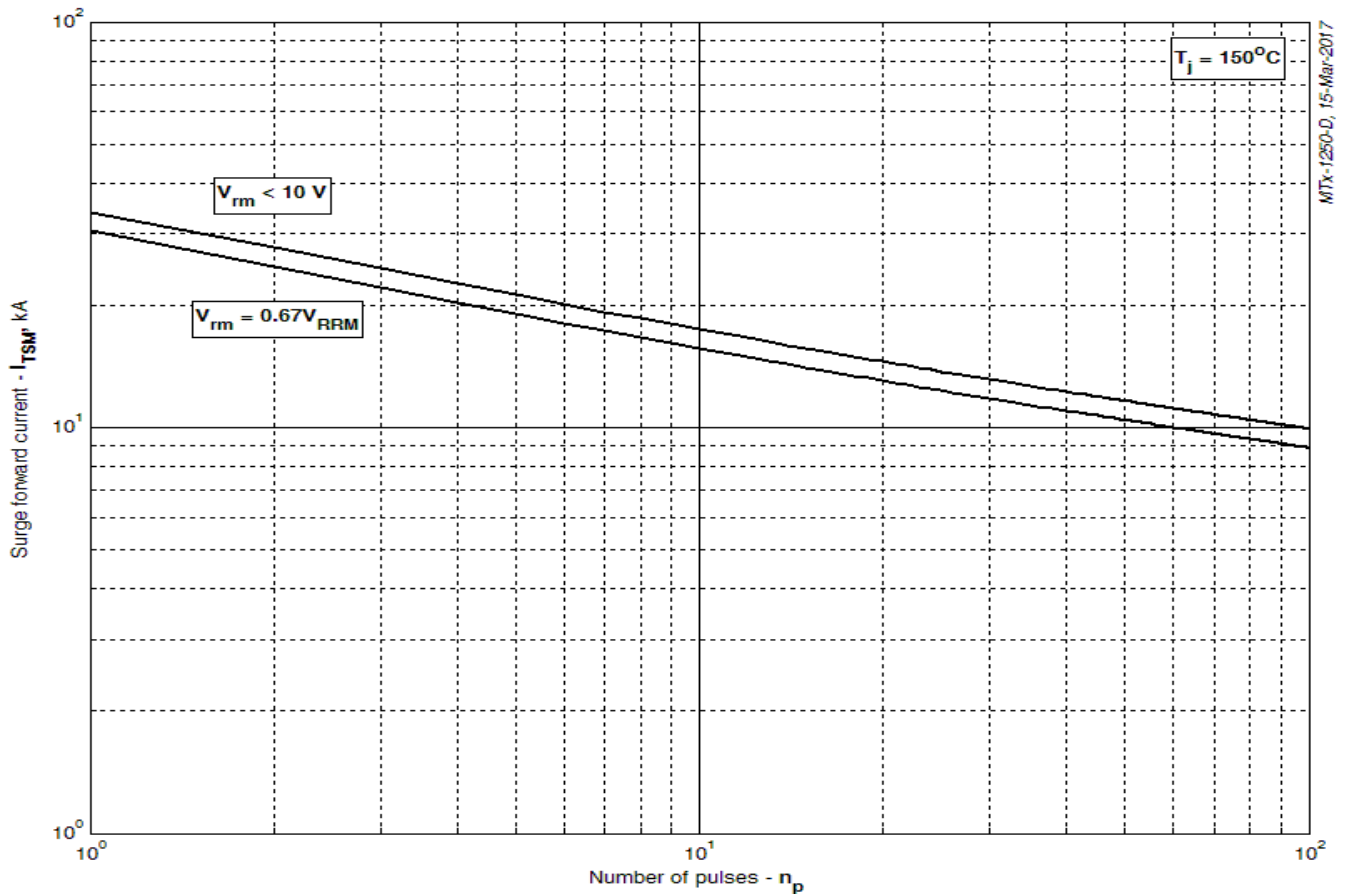


Рис. 14 – Максимальные ударные характеристики